

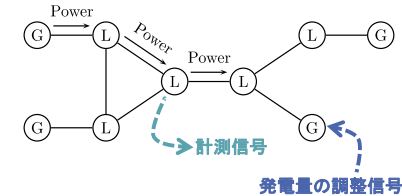
電力ネットワークシステムにおける分散的サイバー攻撃検知

橋本英明 (NTT環境エネルギー研究所)
早川朋久 (東京工業大学)

背景

電力網

- 発電機 (G) と負荷 (L) が複雑な接続関係を持つ、大規模なネットワークシステム

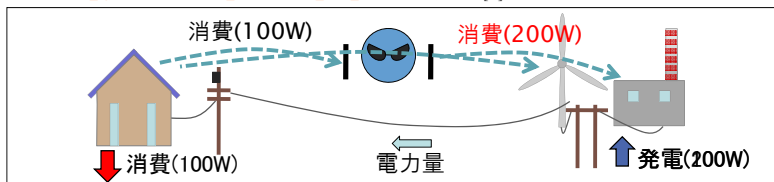
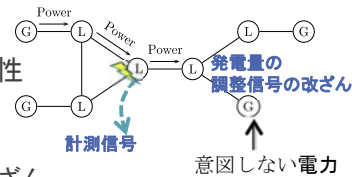


電力網の高度化 → スマートグリッド

- IT技術を利用して情報の共有や通信が行われる
 - 消費電力などの計測情報
 - 発電機に対する、発電量の調整信号

電力網高度化に伴う新たな課題

- 共有された情報の改ざんや悪用の可能性
 - 消費電力などの計測情報の悪用
公称値と異なる電力消費 [1]
 - 発電機に対する、発電量の調整信号の改ざん
発電機が余分な電力を発電・電力網に流入 [2]



- IT技術を用いた電力網への悪意のある攻撃が物理現象に影響

サイバー攻撃 → 意図しない電力消費, 電力流入

サイバー攻撃を分散的に検知

[1] Pashar and Mirzakhaki, "A solution to remote detection of illegal electricity usage based on smart metering," 2007.
[2] Esfahani et al. "A robust policy for automatic generation control cyber attack in two area power network," 2010.

電力ネットワークシステム

動揺方程式:

ノード i の複素電圧の位相 δ_i の時間変化

ノード i での発電電力
ノード i からノード j に流れる電力

$$m_i \ddot{\delta}_i(t) + d_i \dot{\delta}_i(t) - u_i(t) = - \sum_{j \in N_i} p_{ij}(t) + f_i(t)$$

ノード i の減衰定数
ノード i の質量定数

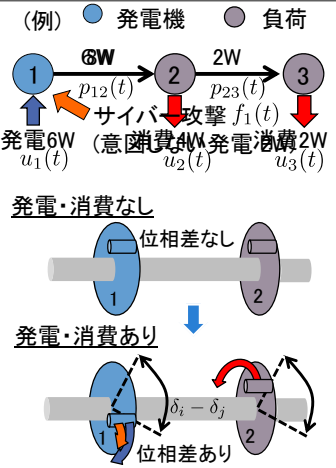
ノード i に対するサイバー攻撃
 $f_i(t) = 0 \rightarrow$ サイバー攻撃なし
 $f_i(t) \neq 0 \rightarrow$ サイバー攻撃あり

- ノード i からノード j に流れる電力

$$p_{ij}(t) = w_{ij}(\delta_i(t) - \delta_j(t))$$

- ノード i での計測量 $y_i(t)$
ノード i に接続しているノードに流れる電力

$$y_i(t) = [p_{i1}, \dots, p_{i n_i}]^T \rightarrow \text{位相差がわかる}$$



w_{ij} : ノード i, j 間のサセプタンスとノード i, j の電圧の積
 N_i : ノード i に接続しているノードの集合 $\{i_1, \dots, i_{n_i}\}$

電力ネットワークシステム全体

- ネットワークを表すグラフ(ノードの数 N)
 - 重み付きグラフラプラシアン L

- 電力ネットワーク全体のダイナミクス

$$\dot{x}(t) = (A + (L \otimes D))x(t) + Bu(t) + Bf(t)$$

$$y(t) = Cx(t)$$

- ノードの状態 $x_i \triangleq [\delta_i, \dot{\delta}_i]^T \in \mathbb{R}^2$
- 状態 $x \triangleq [x_1^T, \dots, x_N^T]^T \in \mathbb{R}^{2N}$
- 入力 $y \triangleq [y_1^T, \dots, y_N^T]^T \in \mathbb{R}^{\sum_{i=1}^N n_i}$
- サイバー攻撃 $f \triangleq [f_1, \dots, f_N]^T \in \mathbb{R}^N$
- 発電電力 $u \triangleq [u_1, \dots, u_N]^T \in \mathbb{R}^N$

$$m_i \ddot{\delta}_i(t) + d_i \dot{\delta}_i(t) = - \sum_{j \in \mathcal{N}_i} p_{ij}(t) + u_i(t) + f_i(t)$$

$$L_{(i,j)} \triangleq \begin{cases} -\sum_{j \in \mathcal{N}_i} \frac{w_{ij}}{m_i}, & i = j, \\ \frac{w_{ij}}{m_i}, & j \in \mathcal{N}_i, \\ 0, & \text{otherwise} \end{cases}$$

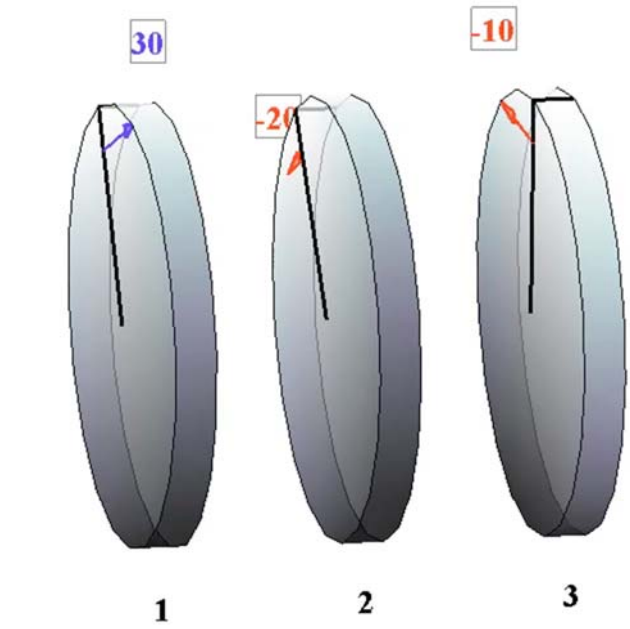
$$A_i \triangleq \begin{bmatrix} 0 & 1 \\ 0 & -\frac{d_i}{m_i} \end{bmatrix}, \quad B_i \triangleq \begin{bmatrix} 0 \\ \frac{1}{m_i} \end{bmatrix}$$

$$A \triangleq \begin{bmatrix} A_1 & & \\ & \ddots & \\ & & A_N \end{bmatrix} \in \mathbb{R}^{2N \times 2N}$$

$$B \triangleq \begin{bmatrix} B_1 & & \\ & \ddots & \\ & & B_N \end{bmatrix} \in \mathbb{R}^{2N \times N}$$

$$D \triangleq \begin{bmatrix} 0 & 0 \\ 1 & 0 \end{bmatrix}, \quad C \triangleq [\bar{C}_1^T, \dots, \bar{C}_N^T]^T$$

(例)

$$\dot{x}(t) = \begin{bmatrix} A+D & -D & 0 \\ -D & A+2D & -D \\ 0 & -D & A+2D \end{bmatrix} x(t) + \begin{bmatrix} B & 0 & 0 \\ 0 & B & 0 \\ 0 & 0 & B \end{bmatrix} u(t)$$


ネットワークシステムにおける故障検知

サイバー攻撃 → 広義の故障

- 集中的な動的システムに対する故障検知
 - 故障検知ができるための必要十分条件 [3]
- ネットワークシステムに対する分散的故障検知

	先行研究[4]	本研究	先行研究[5]
ネットワークシステム	非均一 (電力ネットワークシステム)	非均一 (電力ネットワークシステム)	均一
相互作用項	あり	あり	なし
情報	位相の絶対値	位相差(電力量)	同左
	全体の使用電力	局所的な使用電力	同左

[3] Massoumia, "A geometric approach to the synthesis of failure detection filters," 1986.
 [4] Teixeira *et al.*, "Networked Control Systems under Cyber Attacks with Applications to Power Networks," 2010.
 [5] Meskin *et al.*, "Actuator fault detection and isolation for a network of unmanned vehicles," 2009.

本研究の目的

- 各ノード i において分散的に
 - ・ノード i とその近傍の計測量
 - ・ノード i とその近傍の発電電力

$$m_i \ddot{\delta}_i(t) + d_i \dot{\delta}_i(t) - u_i(t) = - \sum_{j \in \mathcal{N}_i} p_{ij}(t) + f_i(t)$$

$$p_{ij}(t) = w_{ij}(\delta_i(t) - \delta_j(t))$$

$$\bar{y}_i \triangleq [y_i^T, y_{i_1}^T, \dots, y_{i_{n_i}}^T]^T$$

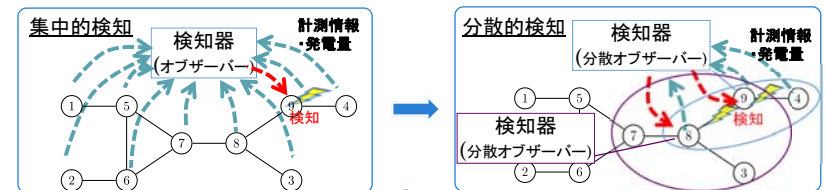
$$\bar{u}_i \triangleq [u_i, u_{i_1}, \dots, u_{i_{n_i}}]^T$$

を用いて, サイバー攻撃の検知を行う

(例: ノード $i = 9$ 分散的サイバー攻撃検知を行うとき使用する情報)

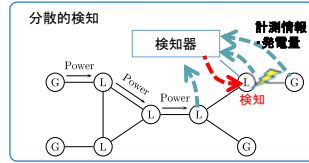
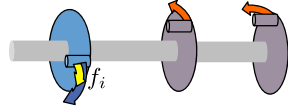
← 計測量 $y_9 = [p_{98}, p_{94}]^T$
 $\bar{y}_9 = [y_9^T, y_8^T, y_4^T]^T$

← 発電電力 $\bar{u}_9 = [u_9, u_8, u_4]^T$



本研究の目的

- サイバー攻撃 $f_i =$ 意図しない電力消費・電力流入



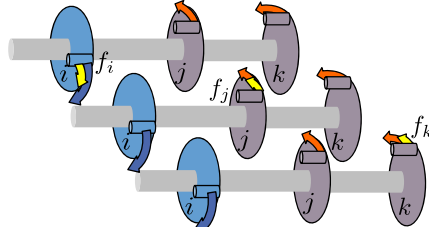
- ノード i において分散的に

- 接続しているノードに流れる電力
- 自分と接続しているノードの発電電力

$$\bar{y}_i \triangleq [y_i^T, y_{i_1}^T, \dots, y_{i_{n_i}}^T]^T \leftarrow \text{観測}$$

$$\bar{u}_i \triangleq [u_i, u_{i_1}, \dots, u_{i_{n_i}}]^T \leftarrow \text{入力}$$

を用いて、サイバー攻撃の検知と場所の特定を行う



自分のところで故障

隣で故障

自分と隣では故障は起こっていない

電力ネットワークシステムに対する分散的サイバー攻撃検知

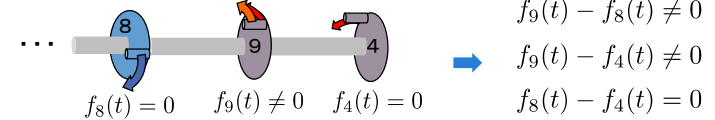
サイバー攻撃の検知手法

- 分散オブザーバーを設計し、実システムと比較
 - 一致 \rightarrow サイバー攻撃なし, 異なる \rightarrow サイバー攻撃発生

計測量が相対値のみ \rightarrow 絶対量を推定するオブザーバーは設計できない

\rightarrow 相対量を推定する分散オブザーバーを設計
 $f_j(t) - f_k(t) \neq 0$ を検知する

ノード9に対するサイバー攻撃が発生



オブザーバーにより $f_j(t) - f_k(t) \neq 0$ を検出

$f_9(t) - f_8(t) \neq 0$ ノード8, 9のどちらかに攻撃 ($f_9(t) \equiv f_4(t)$ を除く)
 $f_9(t) - f_4(t) \neq 0 \rightarrow$ ノード9, 4のどちらかに攻撃 \rightarrow ノード9に攻撃が発生
 $f_8(t) - f_4(t) = 0$ ノード8, 4には攻撃が起こっていない

電力ネットワークシステムに対する分散的サイバー攻撃検知

問題

$$\bar{y}_i \triangleq [y_i^T, y_{i_1}^T, \dots, y_{i_{n_i}}^T]^T \quad \bar{u}_i \triangleq [u_i, u_{i_1}, \dots, u_{i_{n_i}}]^T$$

ノード i と接続しているノードの出力 \bar{y}_i と入力 \bar{u}_i を用いて
 オブザーバー変数 $w_{jk}(t)$ と誤差変数 $r_{jk}(t)$ を以下のように定義するとき、

$$\dot{w}_{jk}(t) = F_{jk}w_{jk}(t) - E_{jk}\bar{y}_i(t) + G_{jk}\bar{u}_i(t)$$

$$r_{jk}(t) = M_{jk}w_{jk}(t) - H_{jk}\bar{y}_i(t) + K_{jk}\bar{u}_i(t)$$

$$j = i, i_1, \dots, i_{n_i}, \quad k = i, i_1, \dots, i_{n_i}, \quad j > k$$

サイバー攻撃の差が $f_j(t) - f_k(t) \neq 0$ であるときのみ、 $r_{jk}(t) \neq 0$ となるような設計パラメータ $F_{jk}, E_{jk}, G_{jk}, M_{jk}, H_{jk}, K_{jk}$ を探す問題
 \rightarrow ノード i における \bar{y}_i, \bar{u}_i を用いた分散的サイバー攻撃検知問題

定理

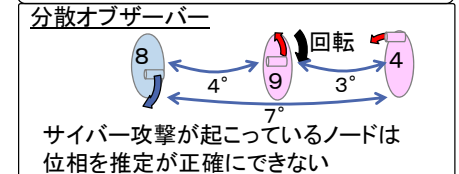
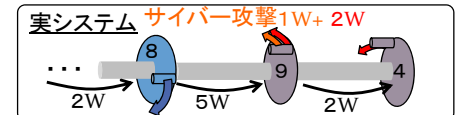
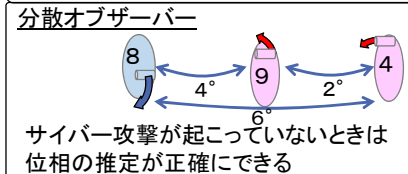
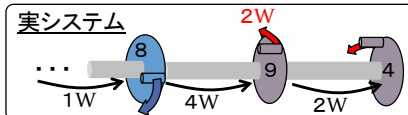
$$\dot{x}(t) = (A + (L \otimes D))x(t) + Bu(t) + Bf(t) \quad (1)$$

電力ネットワークシステム(1)に対する、
 ノード i における \bar{y}_i, \bar{u}_i を用いた分散的サイバー攻撃検知問題は可解である

偏差システムを $x(t) - w_{jk}(t)$, その出力を $r_{jk}(t)$ としたとき、

- サイバー攻撃 $f_{\alpha\beta}$, $\alpha \neq j, \beta \neq k$ の入力ベクトル値空間が不可観測部分空間に含まれる
- サイバー攻撃 f_{jk} の入力ベクトルの値空間が可観測部分空間に含まれるようなパラメータ $F_{jk}, E_{jk}, G_{jk}, M_{jk}, H_{jk}, K_{jk}$ が存在すれば可解
 \rightarrow 不可観測性部分空間の概念を利用すると、存在性を確認できる

提案手法のイメージ ノード9で分散的にサイバー攻撃を検知



位相差の誤差から攻撃を検知

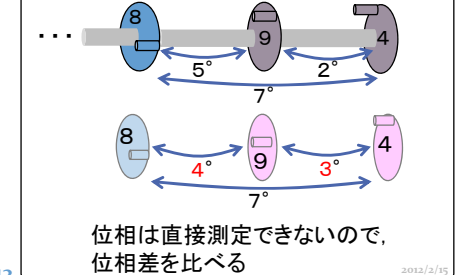
r_{jk} : 実システムと分散オブザーバーのノード j, k の位相差の誤差を表す変数

$r_{98}(t) = 5^\circ - 4^\circ \neq 0 \rightarrow$ ノード8, 9のどちらかに攻撃

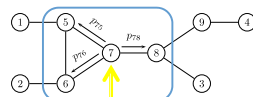
$r_{94}(t) = 2^\circ - 3^\circ \neq 0 \rightarrow$ ノード9, 4のどちらかに攻撃

$r_{84}(t) = 7^\circ - 7^\circ = 0 \rightarrow$ ノード8, 4には攻撃が起こっていない

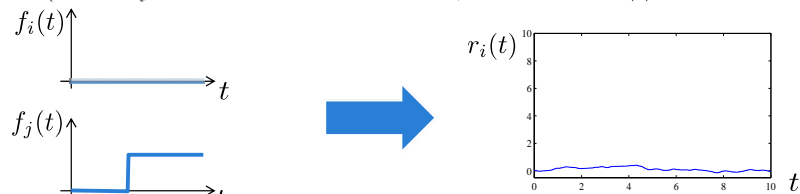
実システムと分散オブザーバーの比較



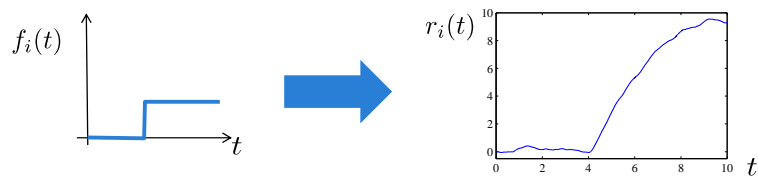
提案手法のイメージ



- ノード i に対するサイバー攻撃が起こっていない(つまり $f_i(t) \equiv 0$) ときは、他のノードにおいてサイバー攻撃が起こっても(つまり $f_j(t) \neq 0, j \in \{1, \dots, N\} \setminus \{i\}$)、検知信号 $r_i(t)$ は0に収束する



- ノード i に対するサイバー攻撃が起こっている(つまり $f_i(t) \neq 0$) ならば、検知信号 $r_i(t)$ は0以外の値を持つ(つまり $r_i(t) \neq 0$)

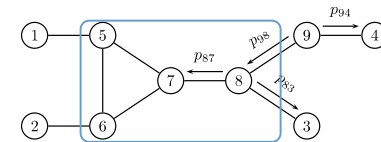


電力ネットワークシステムに対する分散的サイバー攻撃検知

13

2012/2/15

提案手法のイメージ



- ノード7で分散的にサイバー攻撃検知
ノード7に接続しているノード5, 6, 8

ノード8に対するサイバー攻撃が発生

$$f_8(t) \neq 0 \Rightarrow \begin{cases} r_{87}(t), r_{86}(t), r_{85}(t) \neq 0 \\ r_{76}(t), r_{75}(t), r_{65}(t) = 0 \end{cases}$$

r_{jk} : 実システムとオブザーバーのノード j, k の位相差の誤差を表す変数

サイバー攻撃が加わったノードと位相差の誤差の関係
(誤差が生じる組み合わせを○で示した)

	Cyber attacked nodes								
	8	7	6	5	8,7	8,6	8,5	7,6	7,6,5
r_{87}	○	○			○	○	○	○	○
r_{86}	○		○		○	○	○	○	○
r_{85}	○			○	○	○	○	○	○
r_{76}		○	○		○	○	○	○	○
r_{75}		○		○	○	○	○	○	○
r_{65}			○	○		○	○	○	○

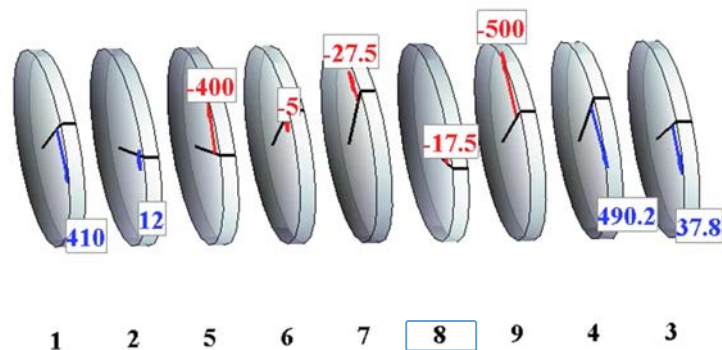
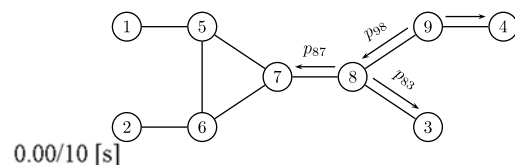
サイバーアタックが起こったノード(同時に $n_i - 1$ 個まで)と、それにより誤差が生じる位相差の組が唯一に決まる

↓
誤差が生じている位相差の組からサイバー攻撃を検知

電力ネットワークシステムに対する分散的サイバー攻撃検知

14

数値実験

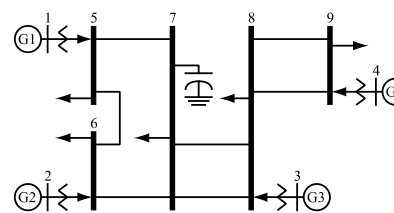


数値実験

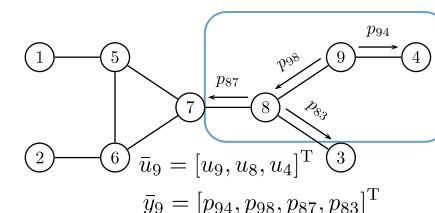
- $t = 4$ [s] でノード8に対するサイバー攻撃が発生
- ノード9 (接続ノード4,8) で分散的サイバー攻撃検知

定理より

オブザーバー w_{94}, w_{98}, w_{84} と誤差変数 r_{94}, r_{98}, r_{84} が設計可能



電力ネットワーク

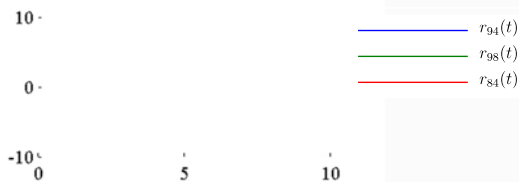
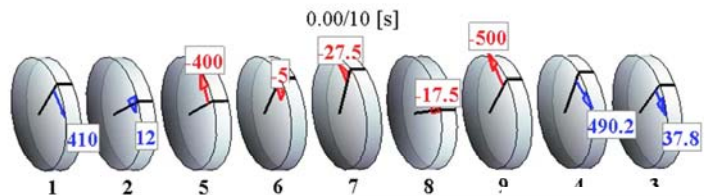


電力ネットワークの接続関係

電力ネットワークシステムに対する分散的サイバー攻撃検知

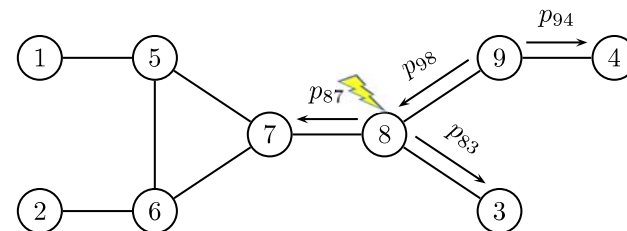
16

2012/2/15



ノード8に対するサイバー攻撃

- ノード9, 8, 7で検知できる
- ノード1, 2, 5, 6では検知しない(できない)が, 誤検知もない
- ノード3では, ノード8でサイバー攻撃が起こったのかノード3でサイバー攻撃が起こったのか区別できない

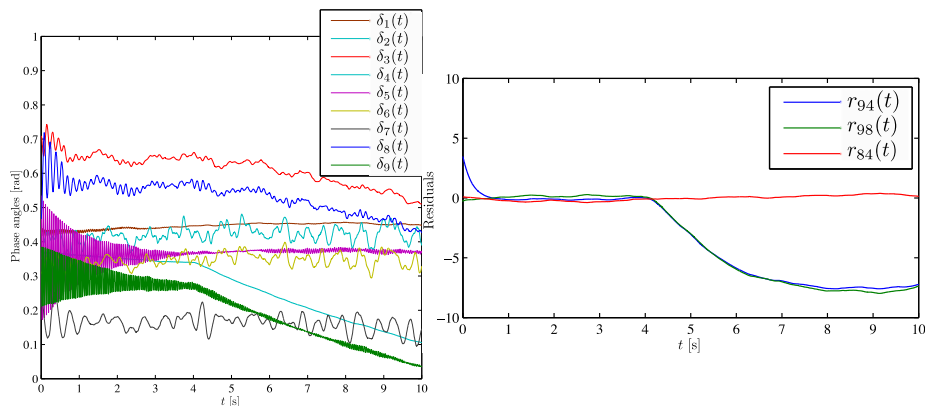
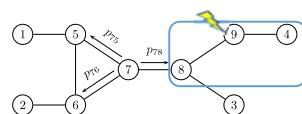


複数の分散的サイバー攻撃検知を行うことで, 電力ネットワーク全体でロバストな故障検知を行える

数値実験

- ノード9における, 間接的分散サイバー攻撃検知

$t = 4$ [s] でノード9に対するサイバー攻撃が起こったとき



r_{94}, r_{98} のみ0以外の値を持つ → ノード9に対するサイバー攻撃

まとめ

- 電力ネットワークシステムに対する, 分散的サイバー攻撃(故障)検知手法を提案した.
- 一般的に提案手法が適応可能であることを理論的に確かめ, 数値実験でその有効性を示した.

今後の課題

- モデル誤差, や外乱に対するロバスト性を陽に考慮した分散的サイバー攻撃(故障)検知手法の提案